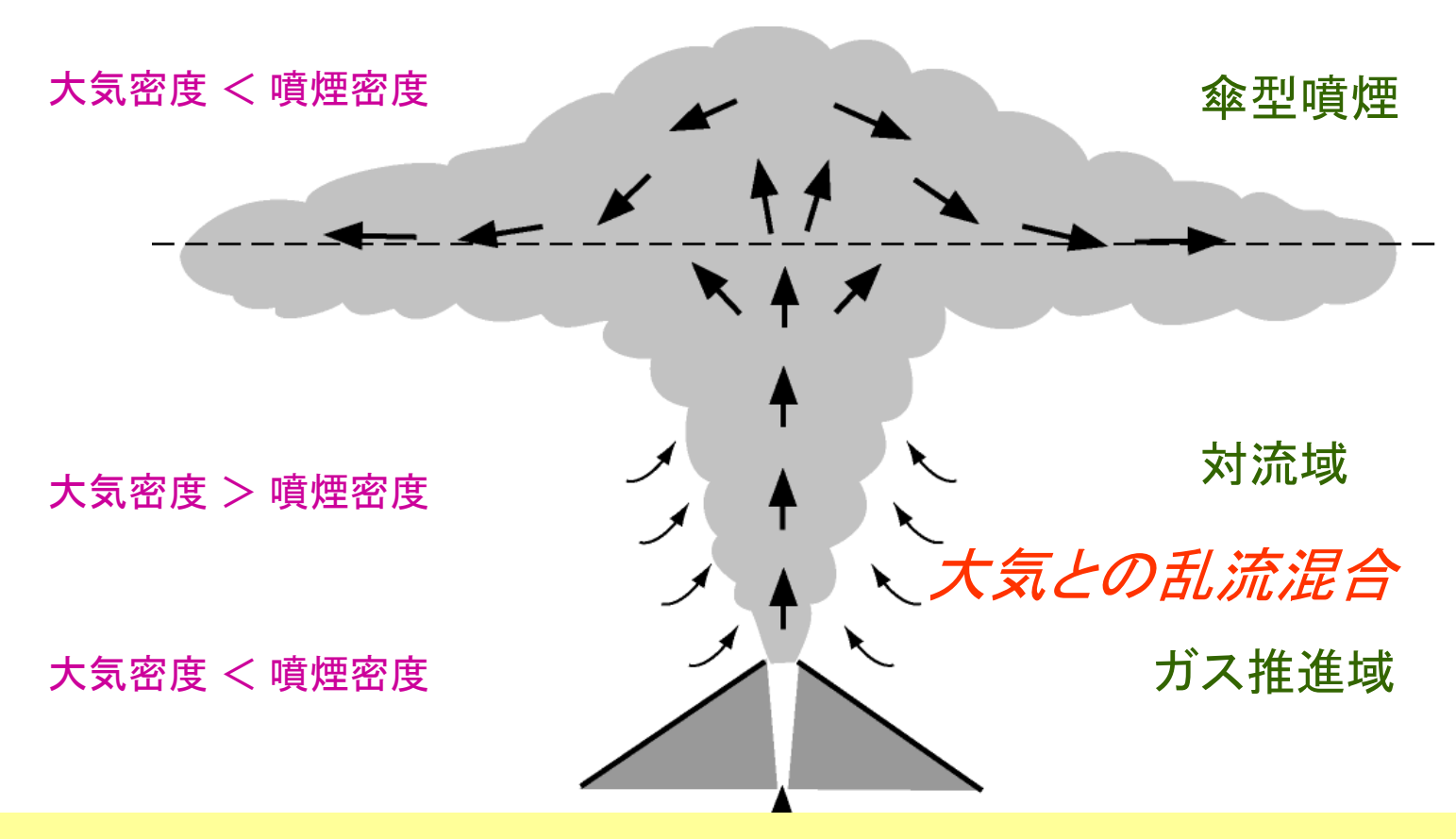
乱流状態の噴煙中の固体粒子の 懸濁モデルに関する観測からの 制約条件

東京大学 地震研究所 小屋口剛博·落合清勝 JAMSTEC 鈴木雄治郎

火山噴煙のダイナミクス

傘型噴煙の拡大から火口での噴出率が推定できる.



固気混相モデルに向けての目標設定

渦による大気の取り込み 火砕物(熱源)の落下

噴煙モデル (極限)

破砕の程度 大 平均粒径 小 乱流 強



破砕の程度 小 平均粒径 大 乱流 弱

噴煙・火砕流からの 火砕物の落下

2-way相互作用があることは確実だが、定量的・実証的なモデル化が難しい.

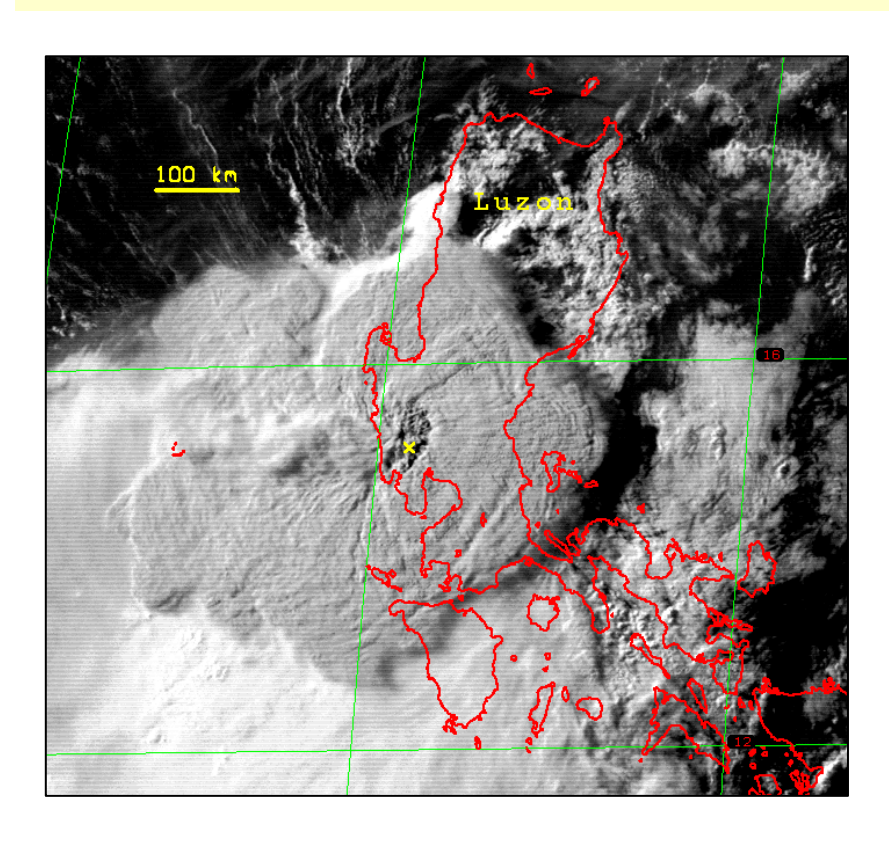
1-way相互作用について、どの程度「定量的な実証」が可能か?



対象とする観測事実

人工衛星データと堆積物の性質を統一的に理解したい.

応用:過去の噴火についても高精度で傘型噴煙の拡大率が推定できる.



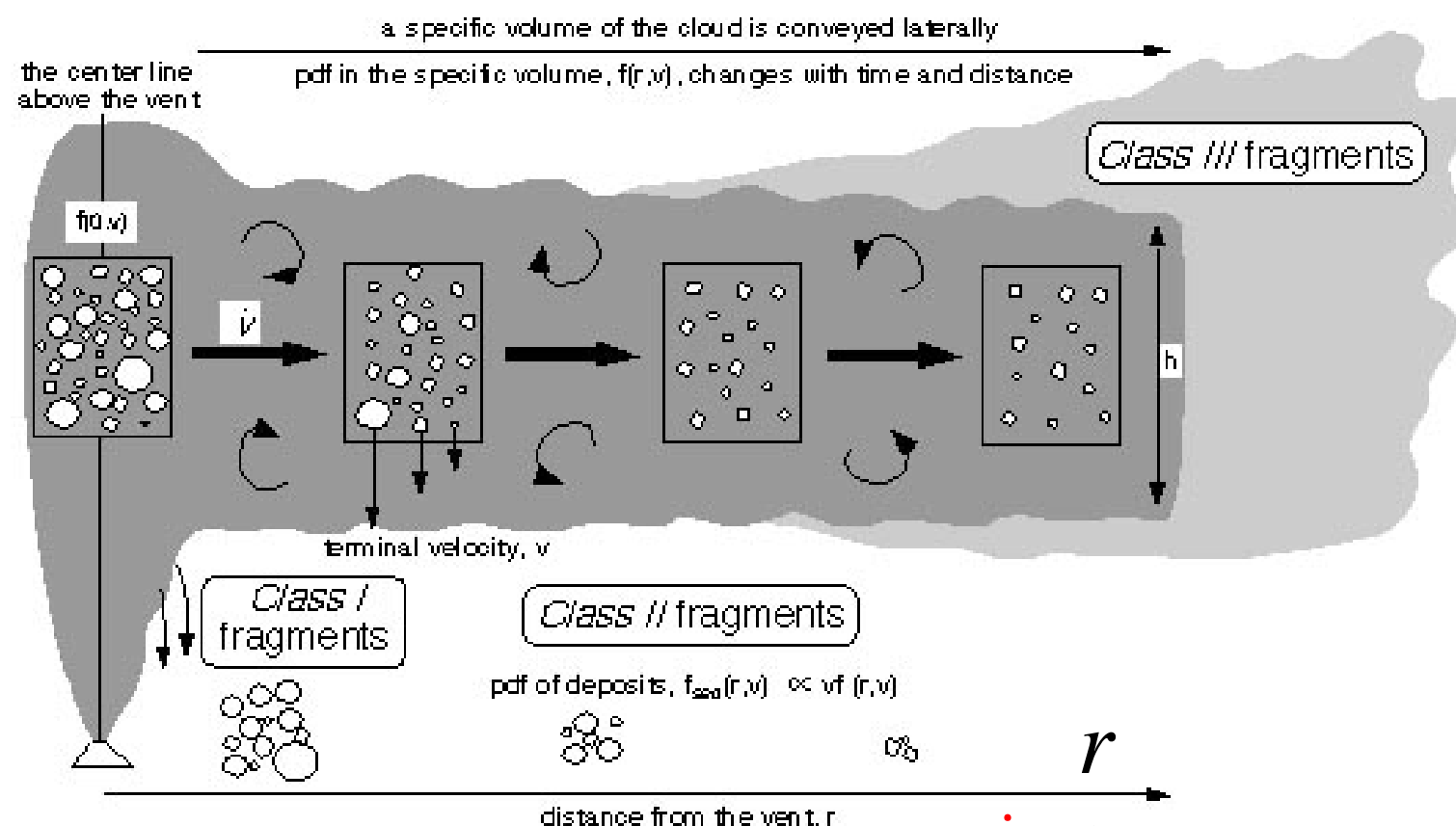
1991年ピナツボ噴火 人工衛星画像



1991年ピナツボ噴火降下火砕堆積物

火砕物降下モデル

(Bursik et al., 1992; Koyaguchi and Ohno, 2001)



$$\ln s_i(r; v_{ti}) = -\frac{\pi r^2 v_{ti}}{\dot{V}} + \ln s_i(0; v_{ti})$$

$$v_{ti} : 終端速度$$

$$s_i : 単位面積堆積$$

V: 体積拡大率

S: 单位面積堆積量

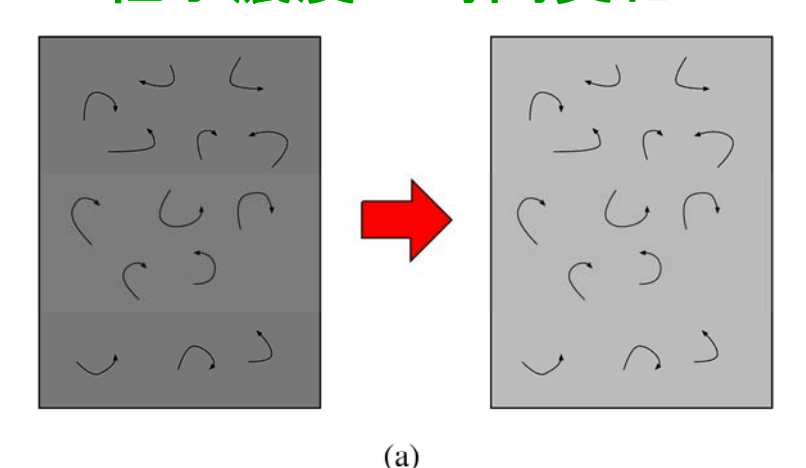
従来のモデルの仮定とその改善

従来のモデル

乱流強度>終端速度

均質混合モデル

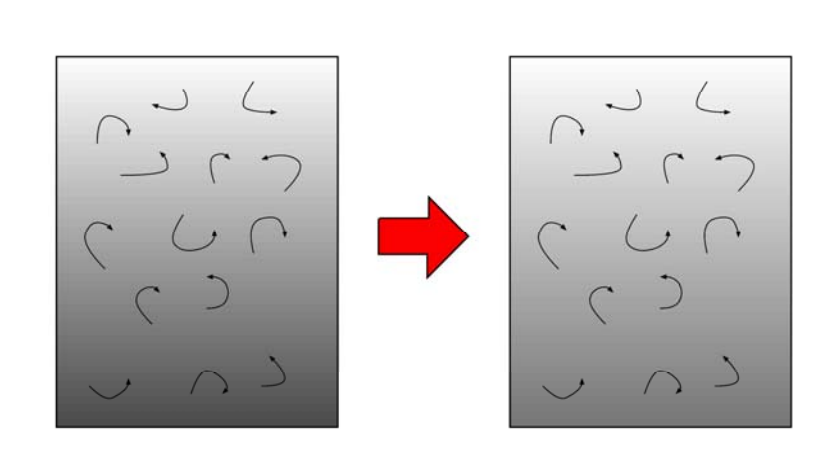
粒子濃度の時間変化



今回のモデル

乱流強度<終端速度

不均質混合モデル

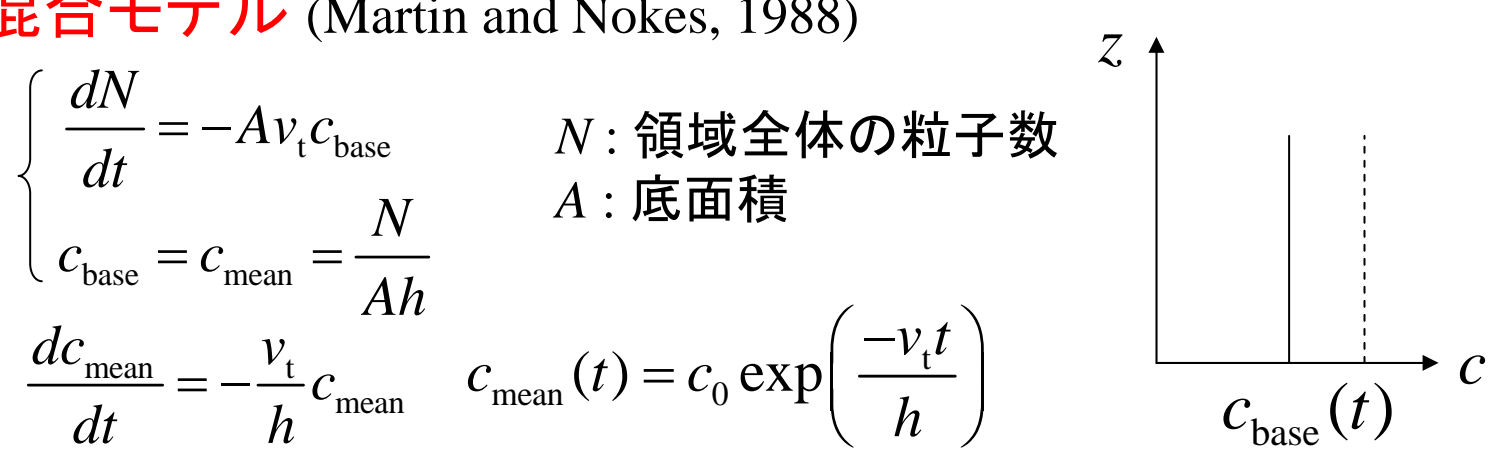


粒子濃度の時間変化を決めるモデル

均質混合モデル (Martin and Nokes, 1988)

$$\begin{cases} \frac{dN}{dt} = -Av_{t}c_{base} \\ c_{base} = c_{mean} = \frac{N}{Ah} \end{cases}$$

$$\frac{dc_{\text{mean}}}{dt} = -\frac{v_{\text{t}}}{h}c_{\text{mean}} \quad c_{\text{mean}}(t) = c_0 \exp\left(\frac{-v_{\text{t}}t}{h}\right)$$

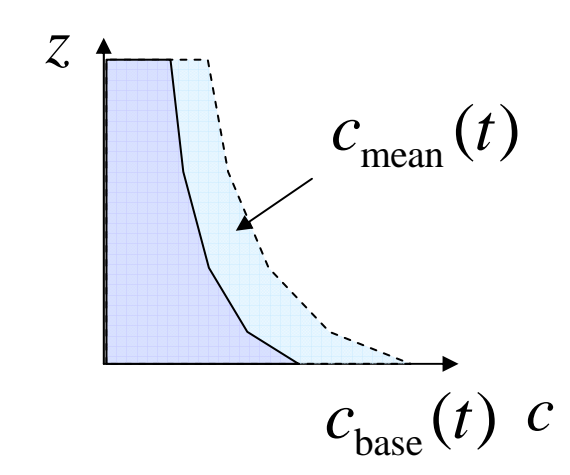


不均質混合モデル (This study)

$$c_{\text{base}} = \kappa c_{\text{mean}} = \kappa \frac{N}{Ah}$$

$$c_{\text{mean}}(t) = c_0 \exp\left(\kappa \frac{-v_{\text{t}}t}{h}\right)$$

$$\kappa = \frac{c_{\text{base}}}{c_{\text{mean}}};$$
 粒子の濃集率



乱流拡散モデルによるκの推定

乱流拡散モデル

$$\frac{\partial c}{\partial t} = \frac{\partial}{\partial z} \left(\varepsilon_z \frac{\partial c}{\partial z} \right) + v_t \frac{\partial c}{\partial z}$$

定常状態、粒子の出入無し

$$\varepsilon_z \frac{\partial c}{\partial z} + v_t c = 0$$

 ε_i :乱流拡散係数 c:粒子濃度

z: 流体底面からの高さ

 v_i :粒子の終端速度 h:流体の高さ

$$c(z) \square c_{\text{base}} \exp \left(-\frac{v_{\text{t}}}{\varepsilon_{z}}z\right)$$

 c_{base} :底面での粒子濃度

乱流拡散係数と乱流強度の関係 (Huppert and Sparks, 1980)

流体内が一様な乱流で、乱流拡散係数がzによらず一定と仮定すれば

$$\varepsilon_z = CW_{\rm rms}h$$

 $\varepsilon_z = CW_{\text{rms}}h$ C: オーダー 1 の定数

W_{rms}:乱流の強さ

h:傘型噴煙の全体の厚さ

$$\kappa = \frac{c_{\text{base}}}{c_{\text{mean}}} = \frac{v_{\text{t}}h/\varepsilon_{z}}{1 - \exp(-v_{\text{t}}h/\varepsilon_{z})} = \frac{S/C}{1 - \exp(-S/C)}$$

$$S \equiv \frac{v_{\rm t}}{W_{\rm rms}}$$

不均質混合モデルの考え方

乱流拡散モデルによる粒子濃度分布の推定



C:オーダー 1 の定数

 W_{rms} :乱流の強さ

h:傘型噴煙の全体の厚さ



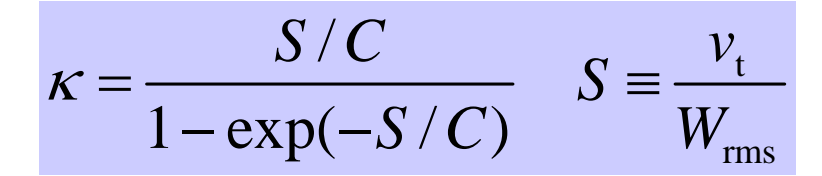
噴煙の3次元 数値計算



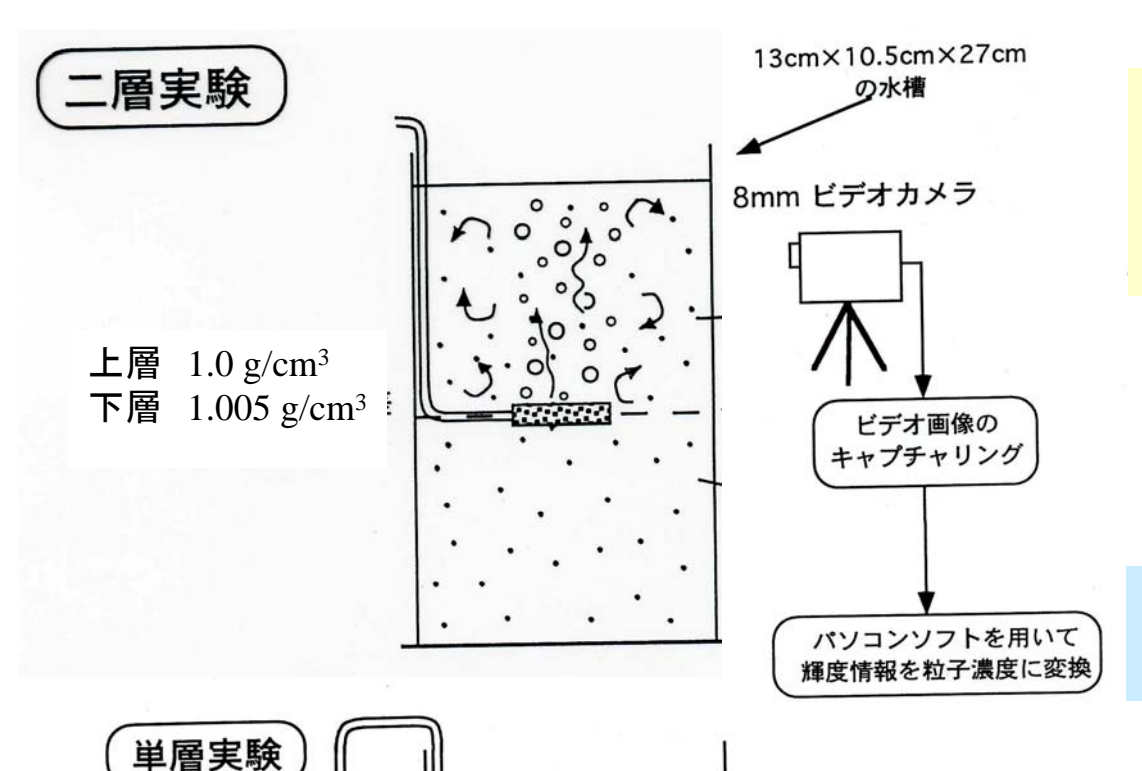
粒子濃集率κの推定



堆積速度の推定



粒子沈降実験の概略図



流量計

エアーストーン

エアーポンプ

噴煙からの粒子の分離を想定して, 乱流中を粒子が沈降する2層構造の 実験を行った.(比較のために単層 構造でも実験を行った)

粒子濃度の測定 (ビデオ画像から画像処理)

κの決定

粒子のない状態で乱流強度の測定 (レーザードップラー流速計)

 W_{rms} の決定

終端速度(静止流体中の粒子の ストークス沈降速度)を計算

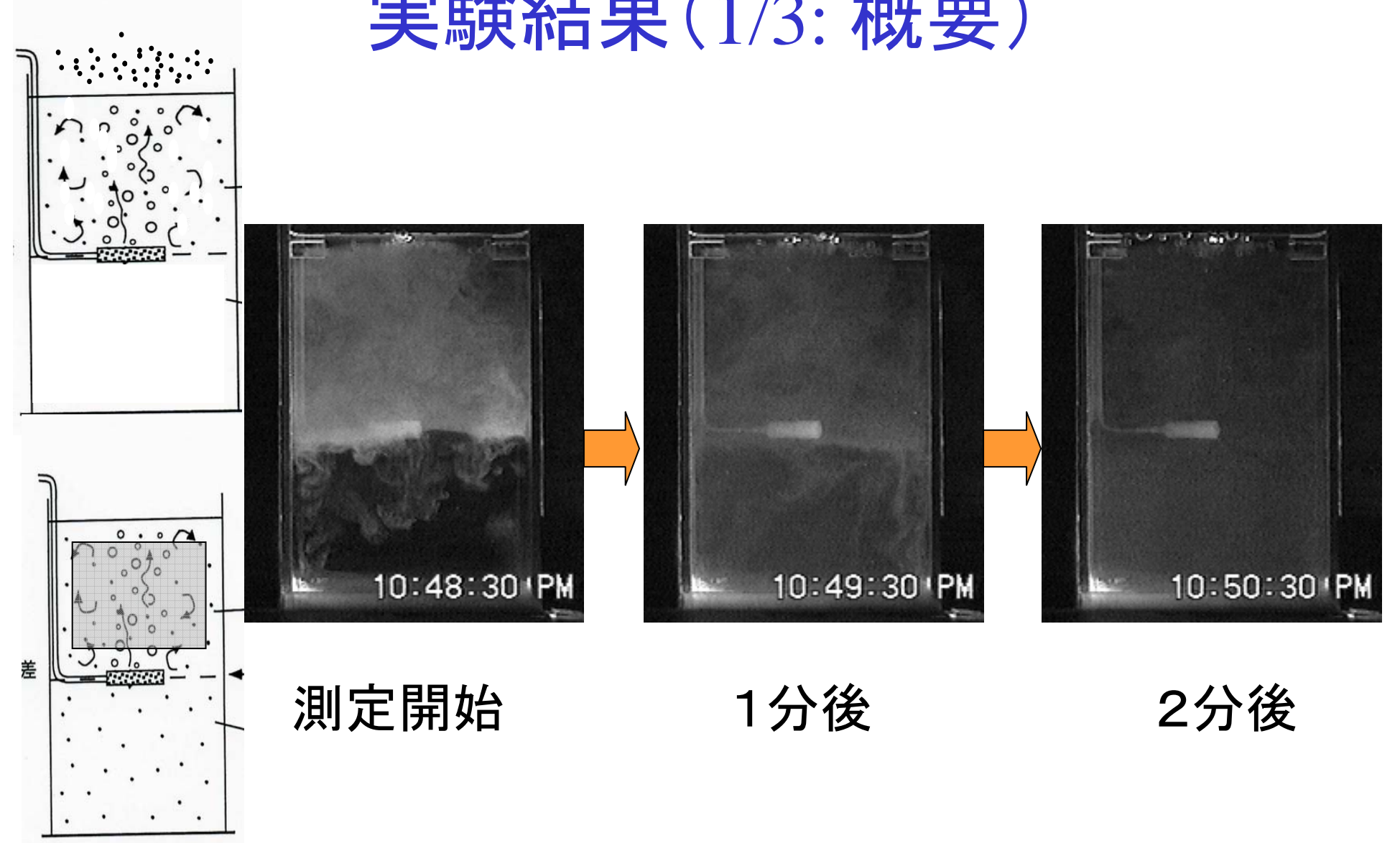
 $\kappa = \frac{S/C}{1 - \exp(-S/C)}$

*v_i, S*の決定



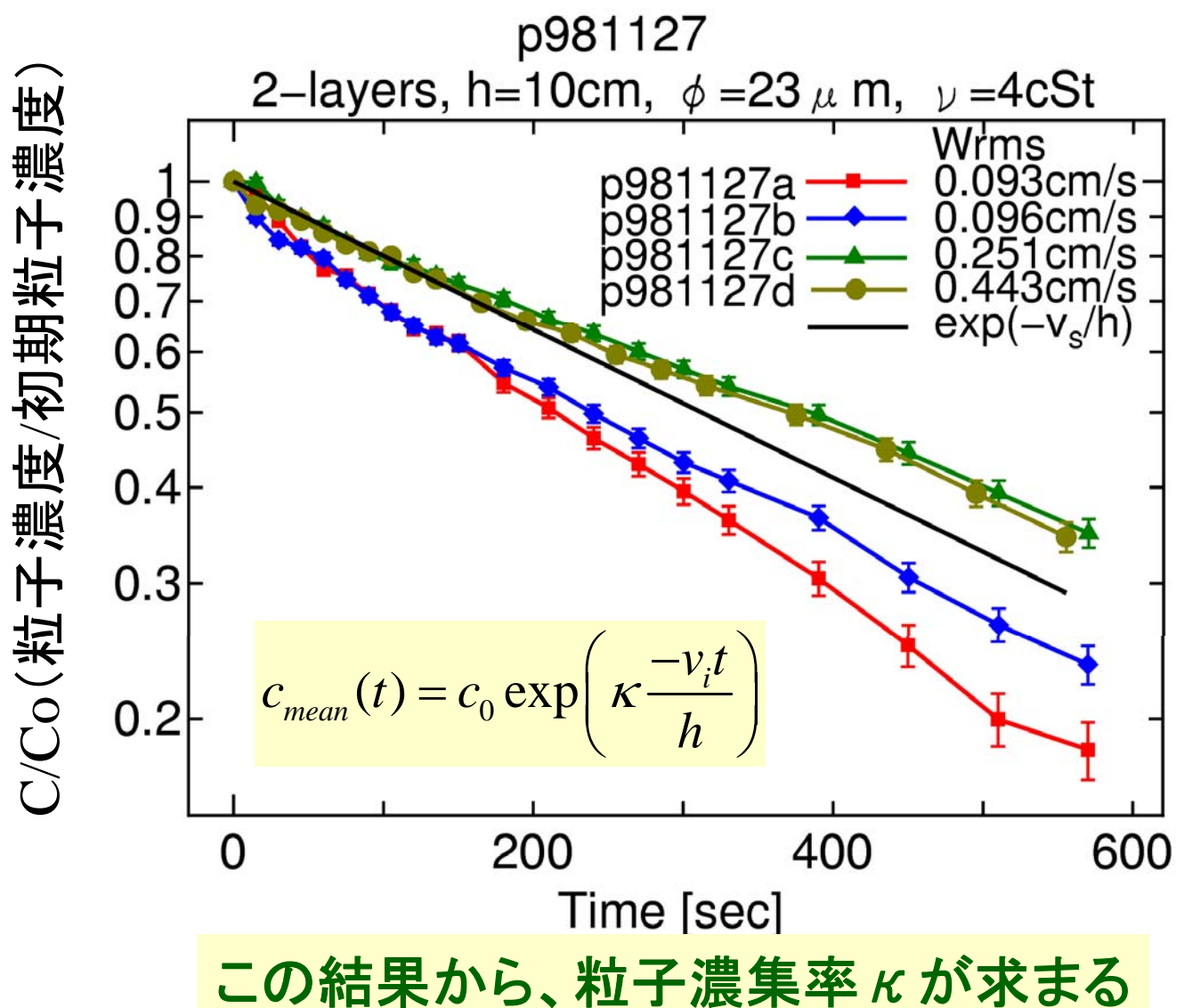
Cの決定

実験結果(1/3: 概要)

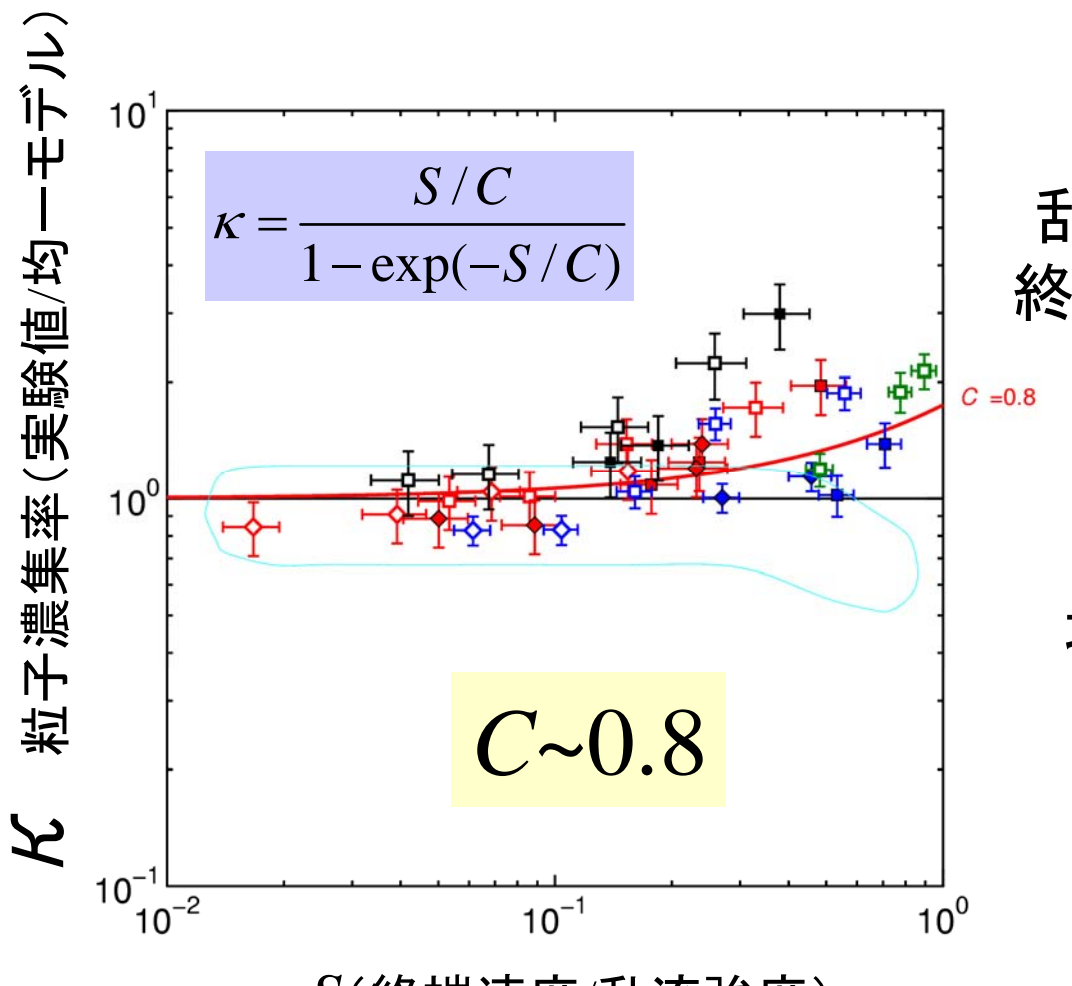


実験結果(2/3: 粒子濃度の時間変

化)



実験結果(3/3: Cの推定)



乱流強度に比べて 終端速度が大きいと 底部に濃集

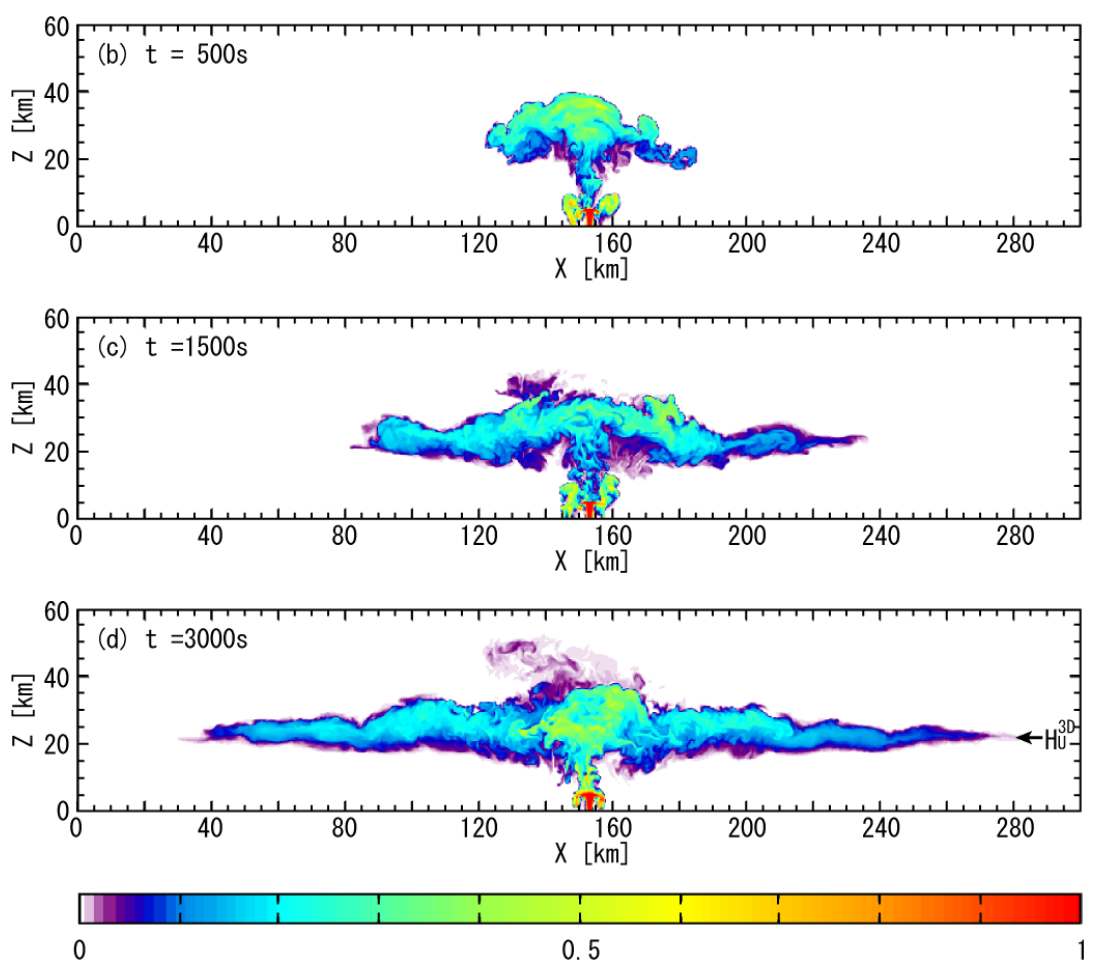


堆積速度が上昇

S(終端速度/乱流強度)

Sの値を噴煙の3次元数値計算で求めれば、 噴煙内部の粒子の混合状態が分かる.

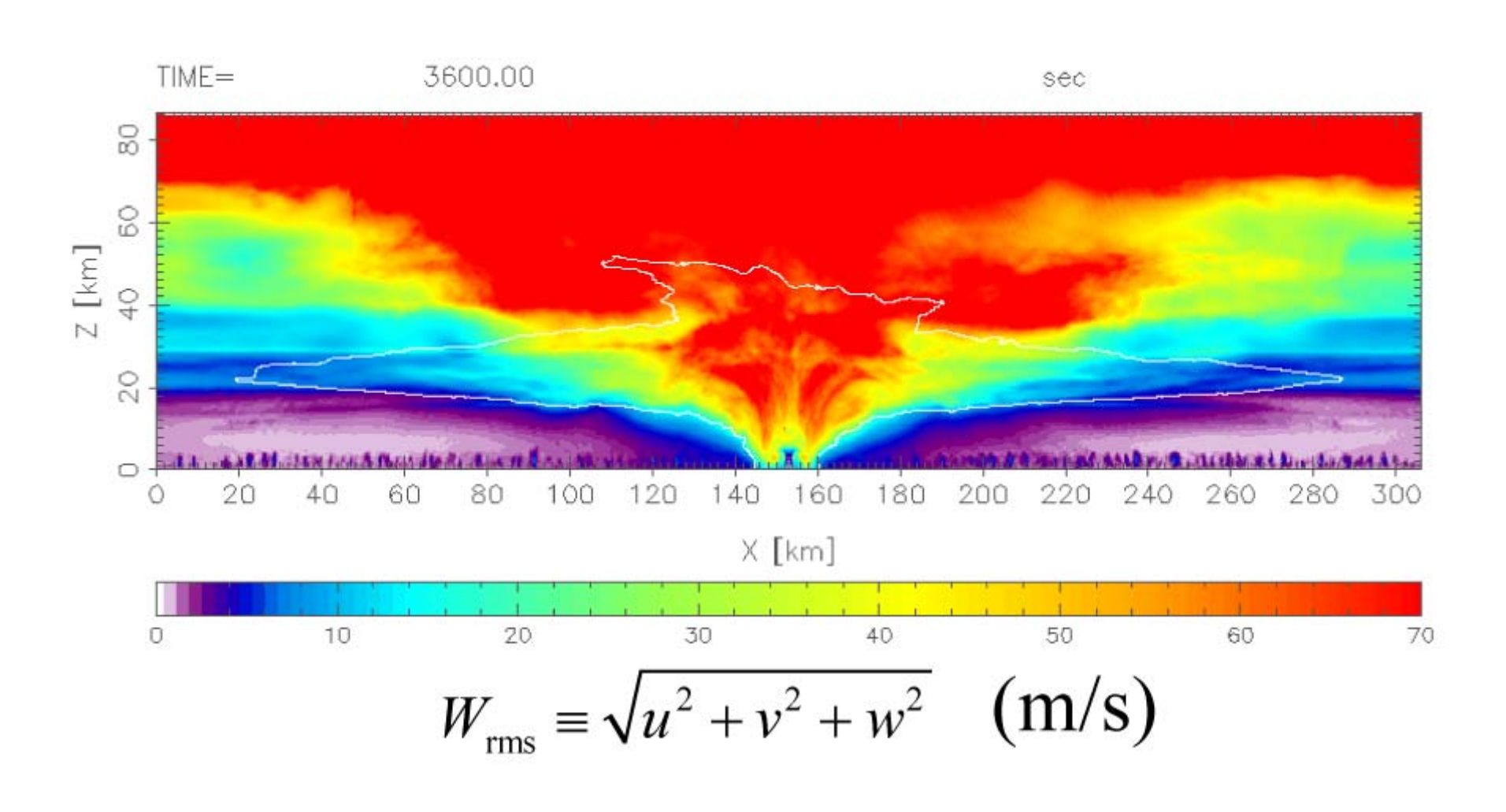
3次元火山噴煙計算結果



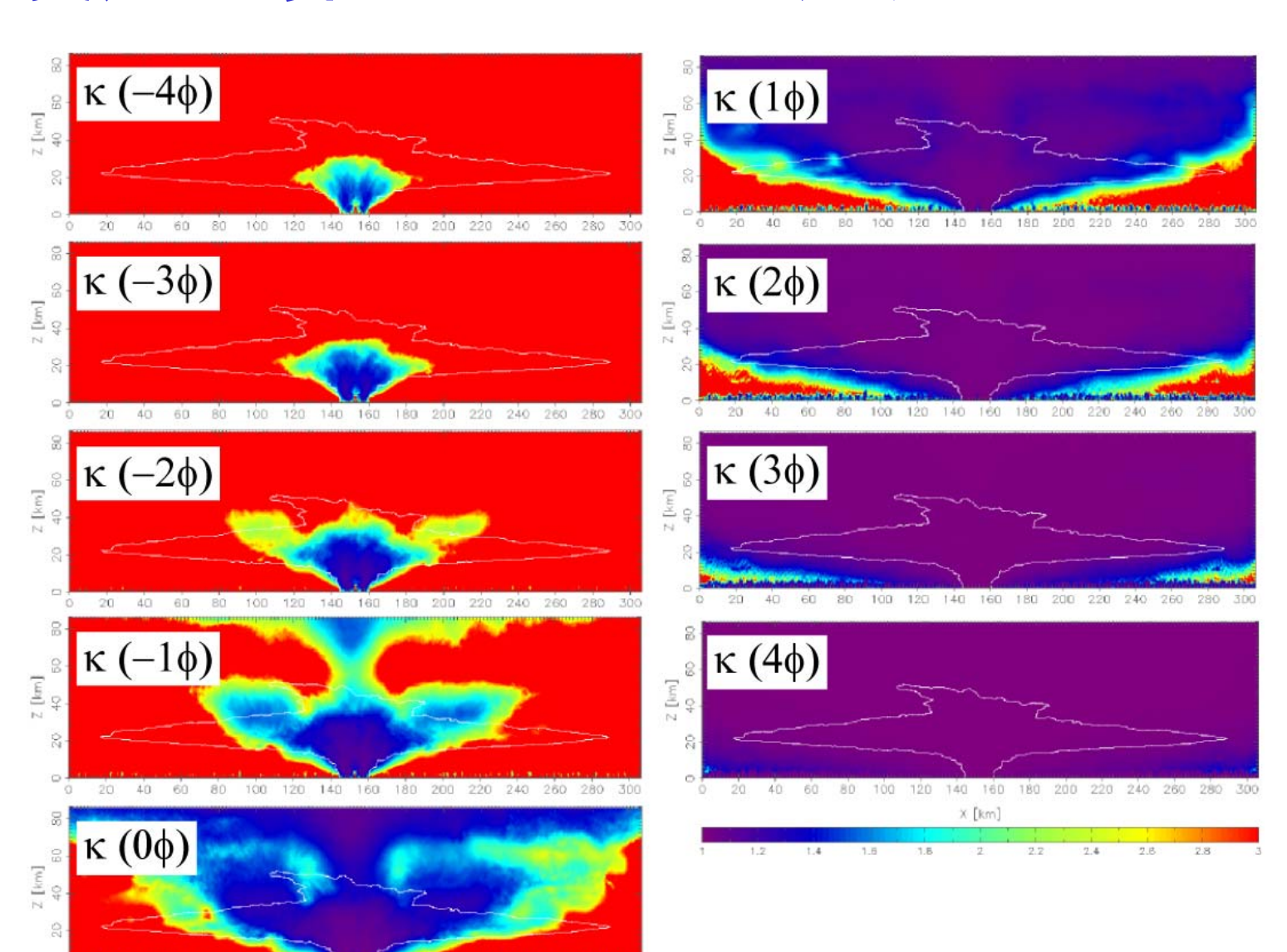
ほぼピナツボ噴火の条件 に合わせた計算結果 マグマ噴出率:10⁹kg/s

噴出温度:1000 K

噴煙計算における乱流強度分布

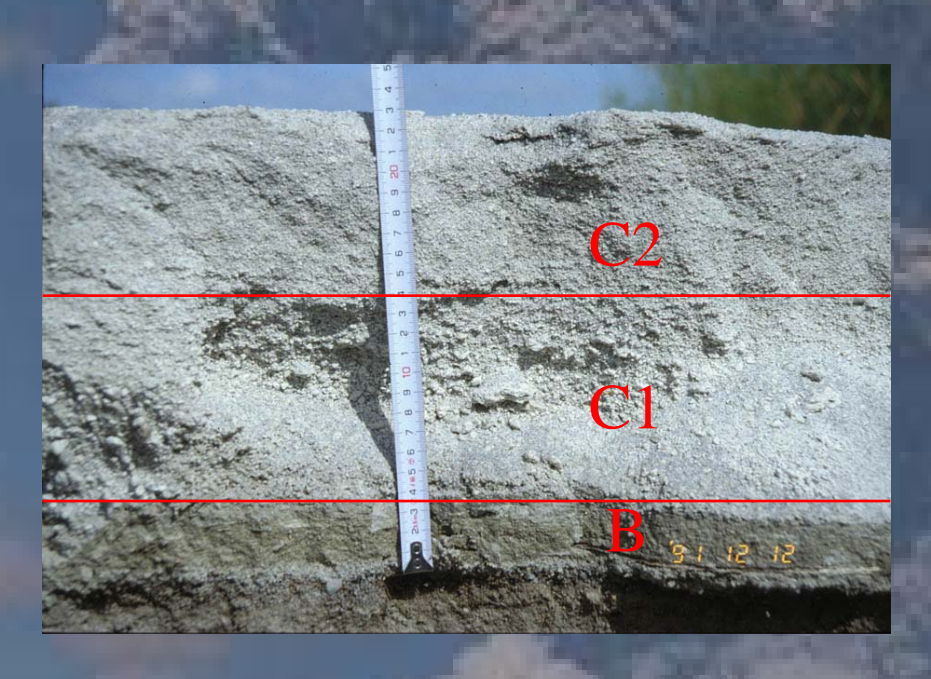


噴煙計算における乱流混合の状態



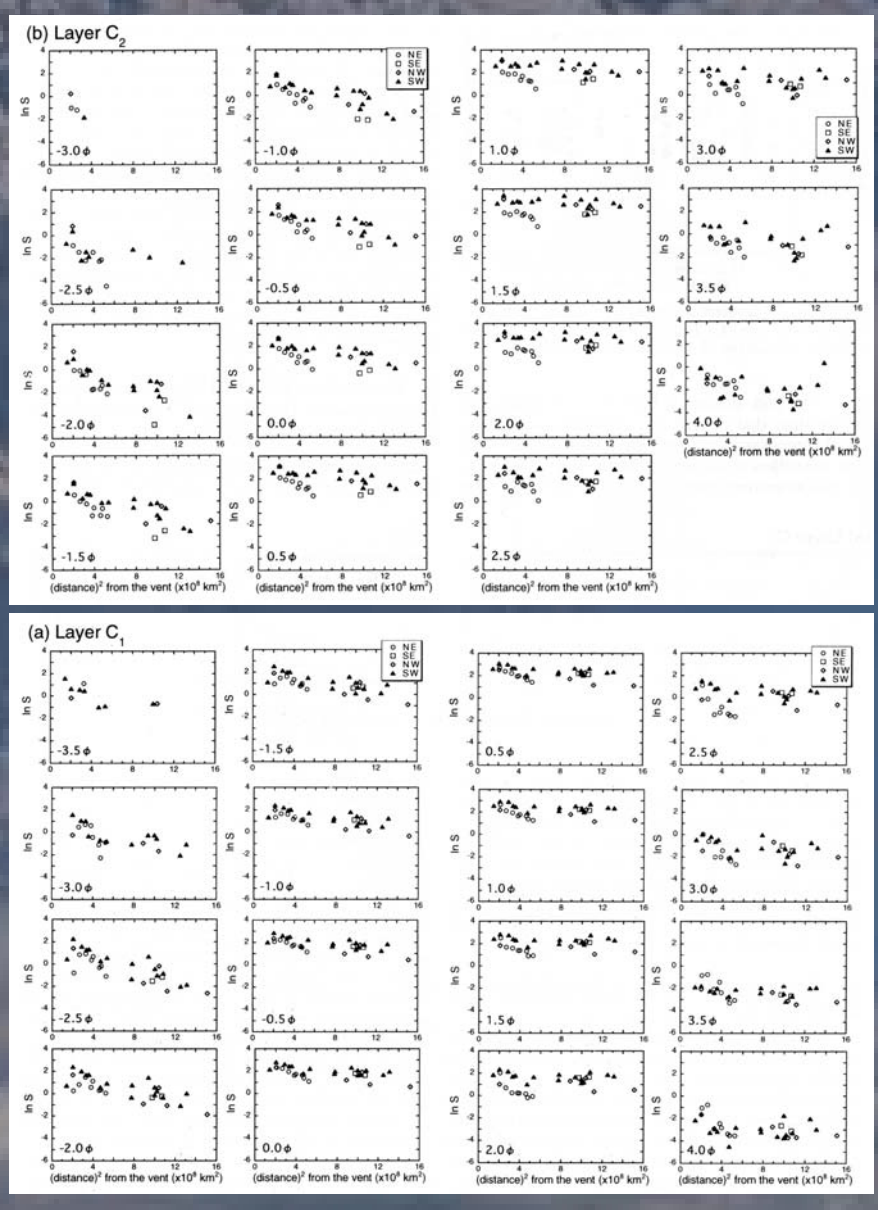
0 20 40 60 80 100 120 140 160 180 200 220 240 260 280 300

ピナツボ噴煙からの堆積物



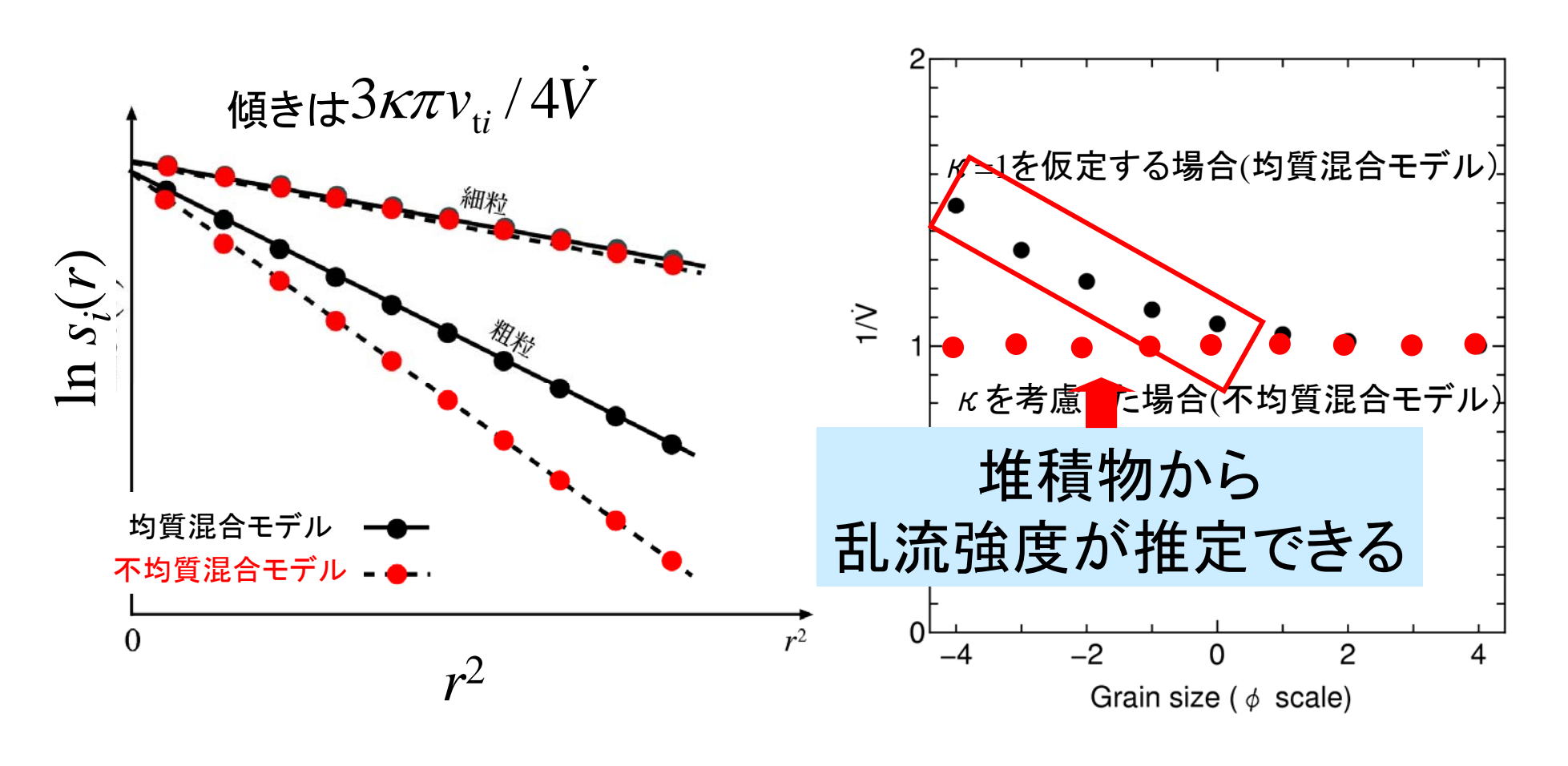
距離と各粒径の重量の関係

Koyaguchi and Ohno (2001)

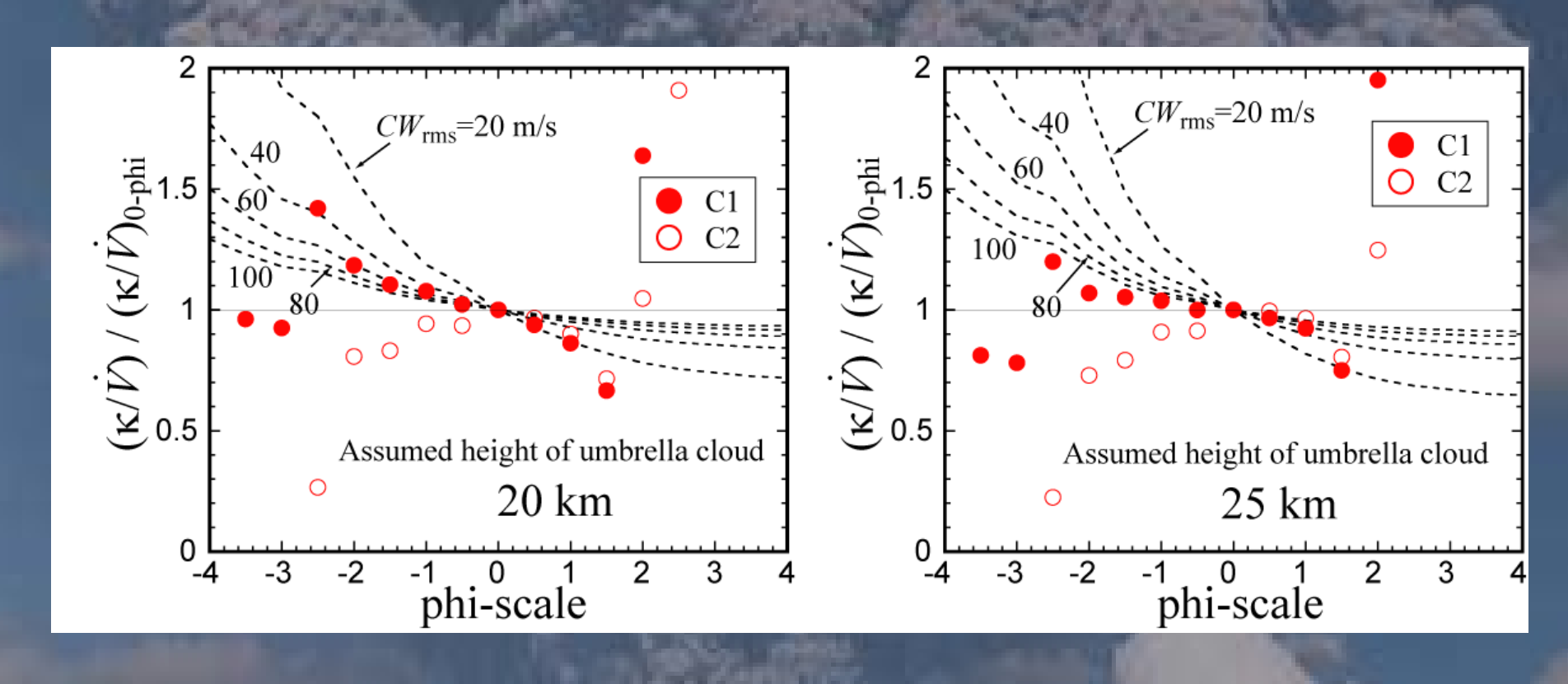


修正火砕物降下モデル

$$\ln s_i(r, v_{ti}) = -\kappa \frac{3\pi r^2 v_{ti}}{4\dot{V}} + \ln s_i(0, v_{ti})$$



ピナツボ噴煙の乱流強度



C1:1991年6月15日14:00頃の噴煙からの堆積物 C2:1991年6月15日夕刻噴煙からの堆積物

まとめ

火山灰粒子を含む「固気混相噴煙モデル」の構築に向けて、

- 室内実験に基づいて粒子の沈降堆積に対する乱流 強度の影響を見積った.
- 3次元噴煙数値計算に基づいて乱流強度を計算した.
- ピナツボ1991年噴火の堆積物に基づいてモデルの観測による実証性を確認した。

当面の課題

- *CやW*_{rms}を決定する要因を明らかにする.
- 観測事実を説明するために要求される精度を探る.